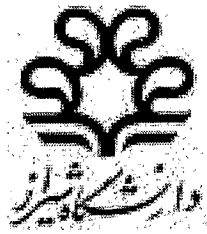


سالنگان

۱۳۸۸



دانشکده علوم

پایان نامه کارشناسی ارشد در رشته فیزیک (اپتیک و لیزر)

بررسی اثرات غیرخطی و پاشندگی و وابستگی آنها به طول موج در
فیبرهای کریستال فوتونی

توسط:

مهین ناصرپور

استاد راهنما:

دکتر عبدالناصر ذاکری

۱۳۸۸/۷/۱۶

سوزان احمدی عاتیه
تستیم مارک

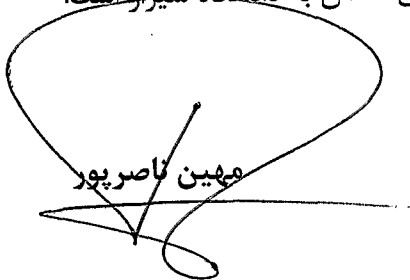
مداد ۱۳۸۸

به نام خدا

اظهار نامه

این‌جانب مهین ناصرپور (۸۴۳-۸۵۰)، دانشجوی رشته‌ی فیزیک گرایش اپتیک و لیزر دانشکده علوم اظهار می‌نمایم که این پایان نامه حاصل پژوهش خودم بوده و در جاهایی که از منابع دیگر استفاده کرده‌ام، نشانی دقیق و مشخصات آنها را نوشتهم. همچنین اظهار می‌کنم که تحقیق و موضوع پایان نامه‌ام تکراری نیست و تعهد می‌نمایم که بدون مجوز دانشگاه دستاوردهای آن را منتشر ننموده و یا در اختیار غیر قرار ندهم.

کلیه حقوق این اثر مطابق با آیین نامه مالکیت فکری و معنوی متعلق به دانشگاه شیراز است.



مهین ناصرپور

به نام خدا

بررسی اثرات غیرخطی و پاشندگی و وابستگی آن‌ها به طول موج در
فیبرهای کریستال فوتونی

توسط:

مهین ناصرپور

پایان نامه

ارائه شده به تحصیلات تکمیلی دانشگاه به عنوان بخشی از فعالیت‌های تحصیلی
لازم برای اخذ درجه کارشناسی ارشد

در رشته‌ی:

فیزیک

از دانشگاه شیراز

شیراز

جمهوری اسلامی ایران

ارزیابی شده توسط کمیته پایان نامه با درجه: عالی

دکتر عبدالناصر ذاکری، استاد بخش فیزیک (استاد راهنمای)

دکتر محمود مرادی، استاد بخش فیزیک

دکتر محمود حسینی فرزاد، استادیار بخش فیزیک

دکتر محسن حاتمی، استادیار بخش فیزیک دانشگاه یزد

مرداد ۱۳۸۸

تقدیم به خوبان زندگی؛

پدرم که هستی ام از برکت دستان مهربانش لبریز است

و بی‌مانند ترین اسطوره‌ی عشق و فداکاری، مادرم

و تمام کسانی که دوستشان دارم.

سپاسگزاری

سپاس و ثنا یگانه خالقی را که ذرات وجودم از جوشش مهرش جان می‌گیرد، او که یگانه‌ترین در عظمت، تنهاترین در اوج و پاک‌ترین در وجود است.

بر خود لازم می‌دانم از استاد ارجمند جناب آقای دکتر عبدالناصر ذاکری که هدایت این رساله را به عهده داشتند و با رهنمودهای ارزشمند خود مرا در انجام این رساله یاری کردند و آقایان دکتر محمود مرادی، دکتر احمد پوستفروش، دکتر محمود حسینی‌فرزاد و دکتر محسن حاتمی که در به انجام رساندن این پژوهش مرا یاری نمودند، کمال تشکر و قدردانی را بنمایم. سپاسی بی‌شائبه دارم از خانواده‌ی مهربانم که همواره مشوق اصلی من در تمام دوران تحصیل بوده‌اند. موفقیت خویش را قطعاً مرهون زحمات و حمایت‌های بی‌دریغ ایشان بوده و هستم. امیدوارم که قدردان زحمات این عزیزان باشم.

چکیده

بررسی اثرات غیرخطی و پاشندگی وابستگی آن‌ها به طول موج در فیبرهای کریستال فوتونی

به وسیله‌ی:

مهین ناصرپور

استفاده از تقویت‌کننده‌ها در سیستم‌های ارتباطی، به منظور تقویت سیگنال‌های تضعیف شده، از اهمیت بسیاری برخوردار است. پیدایش تقویت‌کننده‌های نوری که سیگنال‌های نوری را به صورت مستقیم و بدون نیاز به تبدیل به سیگنال‌های الکترونیکی، تقویت می‌کنند، انقلابی را در سیستم‌های فیبر نوری بر پا کرد. در این رساله وابستگی ضربیب شکست موثر غلاف، پاشندگی، مساحت موثر مد و ضربیب غیر خطی به طول موج در تقویت کننده‌های فیبری کریستال فوتونی آلاییده به Er^{+3} ، ضمن تغییر قطر و فواصل بین حفره‌های هوا در غلاف فیبر مورد بررسی قرار گرفته است. همچنین با به کارگیری روش عددی فوریه گام‌جا، جهت حل معادله شرودینگر غیر خطی، تاثیر این وابستگی بر انتشار و تقویت پالس بررسی شده است. تغییر اندازه قطر و فاصله بین حفره‌های هوا در غلاف فیبر، تاثیر قابل توجهی بر وابستگی ضربیب شکست موثر غلاف، پارامترهای غیرخطی و پاشندگی به طول موج دارد به گونه‌ای که افزایش فاصله بین حفره‌ها از میزان وابستگی به طول موج می‌کاهد. در تقویت‌کننده شبیه‌سازی شده، پاشندگی و اثر غیرخطی که تاثیر یکدیگر را بر پهنای پالس تا حد زیادی خنثی می‌کنند، بطوریکه تغییرات پهنای پالس کمتر از ۱٪ می‌باشد. افزایش فاصله بین حفره‌ها از میزان وابستگی توان خروجی به طول موج می‌کاهد. همچنین در محدوده طول موجی بررسی شده، تغییرات توان پالس خروجی بر حسب طول موج، کمتر از ۰/۰۱ mW است.

فهرست مطالب

	عنوان
صفحه	
۱	۱- مقدمه
۱	۱-۱- خلاصه‌ای از تاریخ ارتباطات
۷	۱-۲- روش ساخت فیبرهای نوری
۸	۲-۲- هدایت نور در فیبر نوری
۱۰	۳-۲- ویژگیهای فیبر نوری
۱۰	۱-۳-۲- روزنۀ عددی (Numerical Aperture)
۱۱	۲-۳-۲- تضعیف در فیبرهای نوری
۱۱	۳-۳-۲- پاشندگی
۱۲	۴-۳-۲- محاسبه پاشندگی در فیبرهایی با ضریب شکست پله‌ای
۱۴	۵-۳-۲- مکانیزم افت
۱۵	۱۵- افت‌های جاذب
۱۵	۱۵- افت تابشی
۱۷	۴-۴-۲- اثرات غیرخطی فیبرها
۱۷	۱-۴-۲- اثر غیرخطی کر
۱۹	۵-۵-۲- فیبرهای کریستال فوتونی
۲۴	۱-۵-۲- روش ساخت فیبرهای کریستال فوتونی

۳- تقویت کننده ها	۲۵
۳-۱- تقویت کننده های الکترونیکی	۲۵
۳-۲- تقویت کننده های نوری	۲۶
۳-۲-۱- تقویت کننده های تزریق شده با عناصر خاکی نادر (EDFA)	۲۶
۳-۲-۲- تئوری تقویت از طریق گسیل القایی	۲۷
۳-۲-۳- ویژگی های جذب و تابش در EDFA	۳۱
۴-۲-۳- تقویت کننده های نیمه رسانا (SOA) :	۳۶
۳-۲-۴- تقویت کننده رامان:	۳۸
۴- معادله شروдинگر غیر خطی و روش فوریه گام جدا	۳۹
۴-۱- معادله شروдинگر غیر خطی	۳۹
۴-۲- روش فوریه گام جدا	۴۳
۵- بررسی نتایج عددی	۴۶
۵-۱- ساختار فیبر مورد مطالعه و خصوصیات پالس	۴۶
۵-۲- ضریب شکست موثر غلاف	۴۸
۵-۳- ثابت انتشار مرتبه دوم و مرتبه سوم	۵۰
۵-۴- مساحت موثر مد و ضریب غیر خطی	۵۴
۵-۵- بررسی پهنهای پالس های خروجی	۶۰
۵-۶- بررسی توان خروجی پالس ها	۶۱
۷-۵- پاشندگی	۶۴
۶- نتیجه گیری و پیشنهادات:	۶۶
۶-۱- نتیجه گیری	۶۶
۶-۲- پیشنهادات	۶۷
فهرست منابع	۶۸

فهرست جدول‌ها

عنوان.....	صفحة.....
جدول ۱-۵ مقادیر α به ازای نسبت‌های مختلف d/Λ	۴۷.....
جدول ۲-۵ اختلاف بیشترین و کمترین توان خروجی در بازه طول موجی بررسی شده برای $d/\Lambda = ۰/۴$	۶۳.....
جدول ۳-۵ مقادیر پاشندگی در ساختارهایی با $\Lambda = ۳/۲۹, ۲/۹۸, ۲/۹۱ \mu m$	۶۵.....

فهرست شکل‌ها

عنوان.....	صفحه.....
شکل ۱-۲ توزیع ضریب شکست یک فیبرنوری.....	۶.....
شکل ۲-۲ سطح مقطع فیبرهای تک مد و چند مد.....	۶.....
شکل ۳-۲ انتشار پرتو نور درون فیبر نوری.....	۸.....
شکل ۴-۲ انتشار پرتو درون فیبر خمیده.....	۹.....
شکل ۵-۲ پالس‌ها در ورودی فیبر دارای پهنهای Δ می‌باشند. پس از انتشار درون فیبر پهنهای پالس‌ها بیشتر شده و به $\Delta/2$ می‌رسد.....	۱۲.....
شکل ۶-۲ پالس‌ها با فاصله $10 \cdot ns$ از یکدیگر جدا شده‌اند و پس از طی مسافت $1 km$ قابل تجزیه‌اند اما همین پالس‌ها پس از طی مسافت $2 km$ دیگر قابل تجزیه نیستند.....	۱۴.....
شکل ۷-۲ نمودار افت دریک فیبر نوری تک مد.....	۱۵.....
شکل ۸-۲ PCF با روزنۀ عددی بزرگ.....	۲۱.....
شکل ۹-۲ PCF با مساحت مد بزرگ.....	۲۱.....
شکل ۱۰-۲ PCF با اثرات غیرخطی بالا.....	۲۲.....
شکل ۱۱-۲ فیبر کریستال فوتونی LIC.....	۲۲.....
شکل ۱۲-۲ فیبر میان تهی یا هو-راهنما.....	۲۳.....
شکل ۱۳-۲ فیبر برآگ.....	۲۳.....
شکل ۱-۳ طرح کلی یک تقویت‌کننده الکترونیکی.....	۲۵.....
شکل ۲-۳ طرح یک تقویت‌کننده چهار ترازی.....	۲۷.....
شکل ۳-۳ ترازهای انرژی اربیوم.....	۳۲.....
شکل ۴-۳ ترازهای استارک در تراز پایه و اولین تراز برانگیخته اربیوم در $Al_2O_3 - SiO_2$	۳۳.....
شکل ۵-۳ طیف فلورسانس EDFA مربوط به گذارهای شکل ۴-۳.....	۳۳.....
شکل ۶-۳ نمودار جذب و نشر اربیوم در سلیکایی که در آن فسفر و آلومینیوم پراکنده شده است.....	۳۴.....
شکل ۷-۳ ترازهای انرژی یون اربیوم در شیشه سلیکا.....	۳۵.....

۳۷ شکل ۸-۳ تقویت کننده نیمه رسانا
۴۶ شکل ۱-۵ سطح مقطع فیبر کریستال فوتونی بررسی شده
۴۸ شکل ۲-۵ ضریب شکست موثر بر حسب طول موج برای $\frac{d}{\Lambda} = 0$
۴۸ شکل ۳-۵ ضریب شکست موثر بر حسب طول موج برای $\frac{d}{\Lambda} = 0.4$
۴۹ شکل ۴-۵ ضریب شکست موثر بر حسب طول موج برای $\frac{d}{\Lambda} = 0.5$
۴۹ شکل ۵-۵ ضریب شکست موثر بر حسب طول موج برای $\frac{d}{\Lambda} = 0.3, 0.4, 0.5$ و $\Lambda = 3\mu m$
۵۱ شکل ۶-۵ پارامتر پاشندگی مرتبه دو بر حسب طول موج برای $\frac{d}{\Lambda} = 0.3$
۵۲ شکل ۷-۵ پارامتر پاشندگی مرتبه سوم بر حسب طول موج برای $\frac{d}{\Lambda} = 0.3$
۵۳ شکل ۸-۵ پارامتر پاشندگی مرتبه دو بر حسب طول موج برای $\frac{d}{\Lambda} = 0.3, 0.4, 0.5$ و $\Lambda = 2\mu m$
۵۴ شکل ۹-۵ پارامتر پاشندگی مرتبه سوم بر حسب طول موج برای $\frac{d}{\Lambda} = 0.3, 0.4, 0.5$ و $\Lambda = 2\mu m$
۵۵ شکل ۱۰-۵ مساحت موثر مدد مرتبه دوم برای $\frac{d}{\Lambda} = 0.5$
۵۶ شکل ۱۱-۵ نمودار عملکرد تک مدد و چند مدد فیبرهای کریستال فوتونی. نقاط مشخص شده مقادیر جدا کننده ناحیه تک مدد و چند مدد هستند که از طریق مساحت موثر مدد مرتبه دوم محاسبه شده‌اند
۵۷ شکل ۱۲-۵ مساحت موثر مدد بر حسب طول موج برای $\frac{d}{\Lambda} = 0.4$
۵۷ شکل ۱۳-۵ ضریب غیر خطی بر حسب طول موج برای $\frac{d}{\Lambda} = 0.3, 0.4, 0.5$ و $\Lambda = 4\mu m$
۵۸ شکل ۱۴-۵ ضریب غیر خطی بر حسب طول موج برای $\frac{d}{\Lambda} = 0.4$
۵۹ شکل ۱۵-۵ ضریب غیر خطی بر حسب طول موج برای $\frac{d}{\Lambda} = 0.3, 0.4, 0.5$ و $\Lambda = 3\mu m$
۶۰ شکل ۱۶-۵ پالس ورودی
۶۰ شکل ۱۷-۵ پهنهای پالس خروجی بر حسب طول موج در $\frac{d}{\Lambda} = 0.3, 0.4, 0.5$ و $\Lambda = 3\mu m$
۶۱ شکل ۱۸-۵ پهنهای پالس خروجی با طول موج 1550 nm بر حسب Λ برای $\frac{d}{\Lambda} = 0.4$
۶۲ شکل ۱۹-۵ پالس تقویت شده
۶۲ شکل ۲۰-۵ شکل توان خروجی بر حسب طول موج برای $\frac{d}{\Lambda} = 0.4$

شکل ۲۱-۵ توان خروجی بر حسب طول موج برای $d/\Lambda = 0/3, 0/4, 0/5$ و $\Lambda = 3\mu m$

شکل ۲۲-۵ پاشندگی مربوط به $d/\Lambda = 0/3$

شکل ۲۳-۵ پاشندگی ساختارهای بهینه شده با کمترین پاشندگی در طول موج $1550 nm$

۶۳
۶۴
۶۵

۱- مقدمه

۱- خلاصه‌ای از تاریخ ارتباطات

استفاده از نور به عنوان وسیله‌ای برای ارتباط پدیده جدیدی نیست. بشر اولیه از نور برای ارسال پیام استفاده می‌کرد و با فرستادن علائم به صورت دود که خود نوعی ارتباط نوری بود مقاصد خاصی را به دیگران ابراز می‌نمود. به عنوان مثال در چین باستان سربازان برای ارسال اطلاعات آتش بزرگی را بر روی دیوار روشن می‌کردند. در سال ۱۸۳۷ ساموئل مورس^۱ انقلابی را در ارتباطات از طریق اختراق تلگراف بر پا کرد که می‌توانست چند بایت را در هر ثانیه ارسال کند. این رکورد برای چند قرن باقی ماند تا در سال ۱۸۷۵ تلفن توسط گراهام بل اختراع شد.

در همان سال، جیمز ماکسول^۲ معادلات خود را بیان کرد. ۱۰ سال بعد هنریک هرتز^۳ امواج رادیویی بلند را شناسایی کرد. تا آن زمان تنها محیط انتقال سیم‌ها بود. در سال ۱۸۹۵ مارکنی^۴ ارتباطات رادیویی را بر اساس امواج الکترومغناطیسی نشان داد. پس از آن ارتباطات با سرعت بالاتر از طریق امواجی با فرکانس‌های بالاتر و پهنای باند بزرگتر صورت گرفت.

در سیستم‌های الکتریکی، معمولاً انتقال اطلاعات پس از تبدیل سیگنال اطلاعات به یک موج الکترومغناطیسی که به آن موج حامل می‌گویند، صورت می‌گیرد. در این روش حجم اطلاعات قابل ارسال، به فرکانس موج حامل بستگی دارد. هر چه فرکانس موج حامل بیشتر باشد، پهنای باند یا ظرفیت آن بیشتر است. برای افزایش اطلاعات و همچنین، در اختیار داشتن سیستم‌های مخابراتی وسیع، باید پهنای باند فرکانسی وسیعی در دسترس بوده و برای افزایش پهنای باند، باید فرکانس افزایش یابد (یعنی طول موج کمتر). طیف امواج نوری بین ۵۰ نانومتر تا

^۱ Samuel Morse

^۲ James C. Maxwell

^۳ Heinrich Hertz

^۴ Guglielmo Marconi

۱۰۰ میکرومتر می باشد که بخشی از آن حدود ۴۰۰ تا ۷۰۰ نانومتر، طیف نور مرئی می باشد. فرکانس امواج نوری بین 10^{12} الی 10^{16} هرتز است.

در سال ۱۹۱۷ آلبرت انیشتین نشان داد که تابش الکایی باید وجود داشته باشد تا آنکه در سال ۱۹۶۰ میمن^۵ عمل لیزر را در یاقوت نشان داد. با اختراع لیزر و مشاهده اینکه نور منتشره از لیزر شباهت زیادی با امواج الکترومغناطیسی ارسالی از یک فرستنده رادیویی دارد، فکر استفاده از لیزر برای انتقال اطلاعات به وجود آمد. ظهور لیزر پهنه‌ای باند بزرگی را در سیستمهای ارتباطی فراهم می کرد. فرکانس نور لیزر در حد 5×10^{14} هرتز است و ظرفیت اطلاعات آن تقریباً 10^5 برابر سیستم‌های مایکروویو و معادل ۱۰ میلیون کانال تلویزیونی است.

اولین محیطی که برای انتقال اطلاعات در سیستم‌های مخابرات نوری مورد استفاده قرار گرفت، جو یا اتمسفر بود که به علت اختلالات ناشی از شرایط جوی، نظیر رعد و برق، بارندگی، سرما و گرما و... ضریب شکست هوا تغییر می کرد و تنظیم عدسی‌ها به هم می خورد و شدت نور تغییر پیدا می کرد.

با توجه به اشکالاتی که در انتقال نور در هوا وجود داشت، به فکر استفاده از هدایت نور توسط موجبر افتادند. در تلاش‌های ابتدایی، اشعه نور در طول مسافت طولانی هدایت گردید و این عمل با بکارگیری عدسی‌هایی که در لوله مناسبی قرار داده شده بودند انجام شد. به این ترتیب از تمايل اشعه به پخش در اطراف، بر اثر شکست نور، ممانعت به عمل آمد و از ورود شعاع‌های نور خارجی و رطوبت به آن جلوگیری شد. چنین سیستم‌هایی نیز به نتیجه مطلوب نرسید زیرا به علت لرزش زمین عدسی‌ها کمی جایه جا شده و مسیر نور تغییر می کرد. به این ترتیب ایده بکارگیری فیبر نوری برای انتقال اطلاعات شکل گرفت. اما ارتباطات نوری پدیدار نشد زیرا تضعیف در فیبرها برای ارتباطات نوری هنوز بالا بود. در سال ۱۹۶۵ کایو^۶ و هاگمن^۷ از یک کمپانی استاندارد سازی تلفن و کابل انگلیسی اولین کسانی بودند که تشخیص دادند تضعیف کابل‌های آن دوره از ناخالصیها ناشی می شود، که می توانست حذف یا برداشته شود. آنها نشان دادند که اگر بتوانند تضعیف را به زیر 20 dB در هر کیلومتر برسانند، فیبر نوری می تواند یک محیط کاربردی برای انتقال باشد. با این تخمین، اولین فیبر کاربردی برای ارتباطات در سال ۱۹۷۰ توسط محققان به نامهای فرانک زیمار^۸، دونالد کک^۹، پیتر شولتز^{۱۰} و روبرت مور^{۱۱} از کارمندان یک شرکت آمریکائی ساخت شیشه اختراع شد. آنها یک فیبر با تضعیف نوری $\frac{dB}{km} = 17$ ساختند که در آن از فناوری تغليظ سيليكون با تيتانيوم استفاده شده بود. در پایان سال ۱۹۷۲

^۵Theodore Maiman

^۶Charles K. Kaio

^۷George A. Hockman

^۸Frank Zimar

^۹Donald Keck

^{۱۰}Peter Schultz

^{۱۱}Robert Maurer

فیبرهای چند مدی، با تضعیفی کمتر از $\frac{dB}{km} 4$ نیز شناخته شد که پیشرفته شایسته در این زمینه بود.

پس از آنکه افت درون فیبرها کاهش پیدا کرد ارتباطات نوری شکل گرفت. از آن پس گسترش ارتباطات، سرعت و سهولت انتقال اطلاعات از طریق سیستمهای ارتباطی و مخابرات فیبر نوری یکی از پر اهمیت‌ترین مباحث تحقیقاتی در جهان امروز است. در ایران نیز اولین بار در اوایل سال ۱۳۶۰، فیبر تک مدی به طول ۴۵ کیلومتر بین تهران - کرج با همکاری شرکت زیمنس آلمان، با افت $0.36/0.36$ دسی بل بر کیلومتر در طول موج ۱۳۱۰ نانومتر به صورت کاتالی کشیده شد.

در فیبرهایی از جنس سیلیکا ثابت تضعیف (α) مقدار کوچکی می‌باشد به خصوص در محدوده طول موجی $\mu m 1/6 - 1$ که کمتر از $\frac{dB}{km} 1$ می‌باشد و در نزدیکی طول موج $\mu m 1/55$ به کمترین مقدار خود در حدود $\frac{dB}{km} 0.2$ می‌رسد. در فواصل کمتر از $1 km$ افت فیبر را می‌توان نادیده گرفت. اما در سیستم‌های ارتباطی فیبر نوری طولانی که فاصله انتقال اطلاعات بسیار طولانی است، این امر مهم می‌شود.

در این راستا استفاده از تقویت‌کننده‌ها در سیستمهای ارتباطی، به منظور تقویت سیگنال‌های تضعیف شده، از اهمیت بسیاری برخوردار است.

تقویت‌کننده‌های قابل استفاده در سیستمهای ارتباطی به دو دسته تقویت‌کننده‌های الکتریکی و تقویت‌کننده‌های نوری تقسیم می‌شوند. تقویت کننده‌های الکتریکی بسیار پیچیده و گران قیمت می‌باشند در حالیکه تقویت‌کننده‌های نوری که سیگنال‌های نوری را به صورت مستقیم تقویت می‌کند، ساده‌تر و ارزان قیمت‌ترند.

انواع تقویت کننده‌های نوری در دهه ۱۹۸۰ مورد مطالعه قرار گرفته و توسعه داده شدند. در ابتدا از تقویت کننده‌های نیمه رسانا استفاده می‌شد. اما از نقطه نظر مباحث کاربردی مربوط به افتهاي تزویجی^{۱۲}، حساسیت نسبت به قطبش و هم‌شتوی بین کاتالی^{۱۳}، به تقویت کننده‌های فیبری متمایل شدند.

تقویت‌کننده‌های رامان نیاز به توان پمپ بالا دارند که به آسانی از لیزرهای نیمه‌رسانا به دست نمی‌آید.

تقویت‌کننده‌های بریلوئن می‌توانند با توانهای پمپاژ پایین کارکند اما پهنای باند مفیدشان در تقویت کننده‌های مورد استفاده در سیستمهای نوری کوچک است.

نوع دیگری از تقویت کننده‌های فیبری بر اساس فیبرهای سیلیکا که با عناصر خاکی نادر تزریق شده‌اند در اواخر دهه ۱۹۸۰ مورد بررسی و توسعه قرار گرفتند و برای کاربردهای سیستم‌های موج نوری به نتیجه مطلوبی رسیدند.

^{۱۲} Coupling losses

^{۱۳} Interchannel crosstalk

در سال ۱۹۸۵ گروهی از محققان نشان دادند که در طول موجهای نزدیک nm ۱۵۵۰، تقویت می‌تواند از طریق تزریق یون Er^{+3} درون هسته فیبر و پمپ کردن آن صورت پذیرد. ظهور این دسته از تقویت‌کننده‌های نوری انقلابی را در ارتباطات نوری ایجاد کرد. این دسته از تقویت‌کننده‌های فیبری در سال ۱۹۹۰ به صورت تجاری در دسترس بودند. این دسته از تقویت‌کننده‌ها توانایی برطرف ساختن نیاز سیستمهای ارتباطی فیبر نوری را جهت افزایش فاصله بین تکرار کننده‌ها، دارا می‌باشد.

فیبرهای نوری نیز پیشرفت‌های زیادی داشته و ابداعات جدیدی در طراحی آنها شکل گرفته که این ابداعات در جهت توسعه قابلیت‌های فیبر بوده است.

فیبرهای بلور فوتونی دسته جدیدی از فیبرهای نوری می‌باشند که در سالهای اخیر در ساخت لیزرها و تقویت‌کننده‌ها مورد توجه و استفاده قرار گرفته‌اند.

در این رساله وابستگی پارامترهای پاشندگی و غیرخطی به طول موج در تقویت کننده‌های فیبر بلور فوتونی مورد بررسی و مطالعه قرار گرفته است. همچنین تاثیر این وابستگی، بر پهنا و توان خروجی پالس درون این دسته از تقویت‌کننده‌ها که عملکردشان بر اساس بازتاب داخلی کلی می‌باشد، بررسی شده است.

پالس‌های بررسی شده دارای پهنای ps ۱۰۰، توان W ۵ و طول موج‌هایی در محدوده تقویت اربیوم (nm ۱۵۳۰ - ۱۵۶۵) می‌باشند که این طول موج‌ها جهت انتقال اطلاعات در سیستمهای مخابراتی استفاده می‌شوند.

در فصل دوم ساختار فیبرهای نوری را بررسی کرده و به بیان خصوصیات و روش ساخت آنها پرداخته‌ایم. در آخر این فصل انواع فیبرهای کریستال فوتونی معرفی شده‌اند.

در فصل سوم به معرفی تقویت کننده‌های مورد استفاده در سیستمهای ارتباطی فیبر نوری پرداخته‌ایم. به ویژه نحوه تقویت در تقویت کننده‌های فیبری تغليظ شده با Er^{+3} بررسی شده است.

در فصل چهار روش به دست آوردن معادله شروعینگر غیرخطی که اساس بررسی انتشار نور در فیبر است را توضیح داده و روش عددی فوریه گام جدا را برای حل این معادله معرفی کرده‌ایم.

نهایتاً در فصل پنجم به معرفی ساختارهای بررسی شده و تحلیل نتایج به دست آمده پرداختیم.

۲-فیبرهای نوری

یک موجبر نوری وسیله‌ای است که می‌تواند یک پرتو نوری را از یک مکان به مکان دیگر هدایت کند.

فیبر نوری که از پالس‌های نور برای انتقال داده‌ها بهره می‌گیرد، از تمام محیط‌های انتقالی شناخته شده، دارای پهنای باند وسیع تر و افت کمتری می‌باشد. این‌ها دو مزیت عمدی در ارزیابی سیستم‌های مخابراتی به شمار می‌روند.

اکثر موجبرهای نوری مورد استفاده، فیبر نوری با ضریب شکست پله‌ای می‌باشد که از سه بخش متفاوت تشکیل شده است [۲] :

(۱) **هسته (Core)**: هسته شامل یک تار کاملاً بازتاب کننده از شیشه خالص (معمول) است. هسته در برخی از کابل‌ها از پلاستیک کاملاً بازتابنده ساخته می‌شود، که هزینه ساخت را پایین می‌آورد. با این حال یک هسته پلاستیکی معمولاً کیفیت شیشه را ندارد و بیشتر برای انتقال داده‌ها در فواصل کوتاه به کار می‌رود.

(۲) **غلاف (Cladding)**: بخش خارجی فیبر بوده که دور تا دور هسته را احاطه کرده و باعث برگشت نور منعکس شده به هسته می‌گردد.

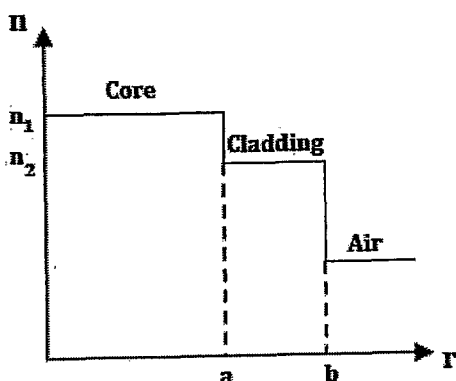
(۳) **پوشش میانگیر (Buffer Coating)**: روکش پلاستیکی که باعث حفاظت فیبر در مقابل رطوبت و سایر موارد آسیب‌پذیر است.

توزیع ضریب شکست در این دسته از فیبرها به صورت زیر می‌باشد:

$$n(r) = n_1 \quad \cdot < r < a \quad \text{هسته} \quad (1-2)$$

$$= n_2 \quad \quad \quad r > a \quad \quad \quad \text{غلاف} \quad (2-2)$$

که a فاصله از مرکز هسته و a شعاع هسته می‌باشد.



شکل ۱-۲ توزیع ضریب شکست یک فیبرنوری

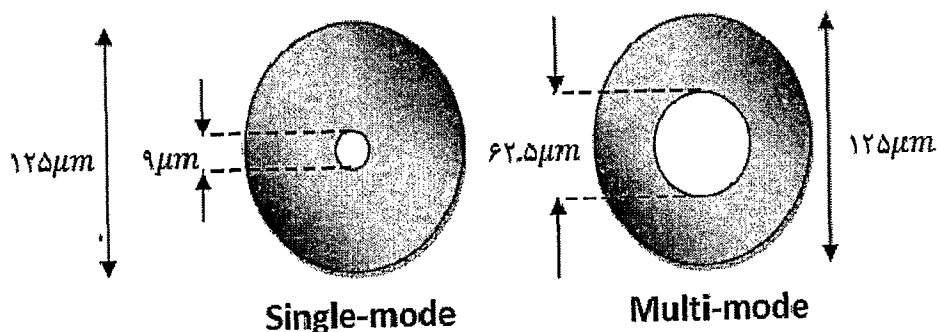
اهمیت غلاف کردن فیبر نوری به این دلیل است که جهت انتقال نور از یک مکان به مکان دیگر فیبر باید محافظت شود. با انتخاب یک ضخامت مناسب برای غلاف، این امر میسر می‌گردد. علاوه بر آن در یک دسته فیبر بدون غلاف، نور می‌تواند از یک فیبر به فیبر دیگر نشست پیدا کند.

فیبرهای نوری در دو گروه عمده قرار می‌گیرند:

(۱) فیبر تک مد (Single-mode): به منظور ارسال تنها یک مد در هر فیبر استفاده می-
شود (نظیر تلفن).

(۲) فیبر چند مد (Multi-mode): به منظور ارسال چندین مد در هر فیبر استفاده می-
شود (نظیر شبکه‌های کامپیوتی).

تفاوت اصلی بین فیبرهای تک مد و چند مد در اندازه هسته این فیبرها می‌باشد.



شکل ۲-۲ سطح مقطع فیبرهای تک مد و چند مد

۱-۲- روش ساخت فیبرهای نوری

برای ساخت فیبرهای نوری با افت کم از شیشه سیلیکا ساخته شده از مولکول‌های SiO_2 استفاده می‌شود. اختلاف ضریب شکست بین هسته و غلاف از طریق تزریق مواد اضافی در حین ساخت به وجود می‌آید. موادی مانند GeO_2 و P_2O_5 موجب افزایش ضریب شکست سیلیکا می‌شوند و برای استفاده در هسته فیبر مناسب می‌باشند. از طرفی موادی مانند بورون^{۱۴} و فلورین^{۱۵} ضریب شکست سیلیکا را کاهش می‌دهند و در غلاف فیبر به کا می‌روند. مواد اضافه شده به سیلیکا با توجه به نوع نیاز انتخاب می‌شوند. به عنوان مثال برای ساخت تقویت‌کننده‌ها و لیزرهای فیبری، عناصر خاکی کمیاب مانند اربیوم را درون هسته فیبر تزریق می‌کنند. ساخت فیبرهای نوری در دو مرحله انجام می‌شود. در مرحله اول با استفاده از روش ته نشینی بخار^{۱۶} یک پیش ساخت استوانه‌ای با یک توزیع ضریب شکست مطلوب و یک نسبتی از اندازه هسته و غلاف ایجاد می‌شود. معمولاً پیش ساخت دارای طول ۱ متر و قطر ۲ سانتی متر است. در مرحله دوم، پیش ساخت درون یک کوره با سرعت مناسب کشیده می‌شود. در این مرحله ابعاد هسته و غلاف تثبیت می‌شود. یکی از مهمترین روش‌ها برای تولید پیش ساخت، روش تغییر یافته ته نشینی بخار شیمیایی است (MCVD)^{۱۷}. در روش MCVD چندین لایه از SiO_2 ، از طریق ترکیب بخارهای $SiCl_4$ و O_2 در دمای $1800^{\circ}C$ ، درون تیوب سیلیکا ته نشین می‌شود. برای اطمینان از یکنواختی چندین گرم کننده در طول تیوب به جلو وعقب می‌روند. ضریب شکست لایه‌های غلاف با اضافه کردن فلورین کنترل می‌شود. زمانی که ضخامت مناسب برای غلاف توسط جایه‌جایی گرم کننده حاصل شد، بخار $POCl_3$ و $GeCl_4$ به ترکیب بخار برای ساخت هسته اضافه می‌شود [۱].

^{۱۴} Boron

^{۱۵} Fluorine

^{۱۶} Vapor-deposition

^{۱۷} Modified chemical vapor deposition